

# 硫化体系对 NBR/PCMO 共混物性能的影响

彭 璐<sup>1</sup>, 陈运熙<sup>1</sup>, 王克山<sup>2</sup>, 孙冬梅<sup>2</sup>

(1. 北京橡胶工业研究设计院,北京 100039; 2. 黑龙江鸡西恒立工程塑料厂,黑龙江 鸡西 158149)

**摘要:**研究不同硫化体系对 NBR/氯化聚醚(PCMO)共混物性能的影响。试验结果表明,低硫高促硫化体系共混物硫化胶的耐热空气老化性能较好,复合硫化体系共混物硫化胶的压缩永久变形性能最佳;过氧化物硫化体系中硫化剂 DCP 用量为 3.5 份,甲基丙烯酸锌[Zn(MMA)<sub>2</sub>]/DCP 硫化体系中 Zn(MMA)<sub>2</sub> 用量为 10 份、硫化剂 DCP 用量为 2.5 份时,共混物的综合性能最佳。

**关键词:**NBR; 氯化聚醚; 硫化体系; 物理性能; 压缩永久变形; 耐热空气老化性能

中图分类号:TQ333.7; TQ333.96 文献标识码:B 文章编号:1000-890X(2004)01-0020-04

NBR 是丁二烯与丙烯腈的共聚物,以耐油性能好而著称,主要用于制作耐油橡胶制品。随着各行各业的不断发展,对其提出了更高的要求,例如要有良好的耐臭氧性、耐热性和耐磨性等。氯化聚醚(PCMO)具有较高的拉伸强度、较好的耐臭氧性、耐老化性、耐磨性及耐蠕变性。前期研究工作<sup>[1]</sup>表明,加入 PCMO 可以明显提高 NBR 硫化胶的物理性能、耐热性、耐磨性和耐臭氧性等。

目前国外有关 NBR/PCMO 共混物的研究尚未见文献报道,国内科研人员曾进行过一些配方试验<sup>[2,3]</sup>。本工作主要研究不同硫化体系对 NBR/PCMO 共混物性能的影响。

## 1 实验

### 1.1 原材料

NBR, 牌号为 N240S, 日本瑞翁公司产品; PCMO, 粒状, 特性粘度为 0.7~0.8, 相对分子质量为 20 万~30 万, 软化点为 166 °C, 熔融点为 177.6 °C, 黑龙江鸡西恒立工程塑料厂产品; 其它原材料均为橡塑工业常用产品。

### 1.2 基本配方

NBR/PCMO(共混比为 80/20) 100, 防老剂 RD 1.5, 防老剂 MB 1, 喷雾炭黑 50。

**作者简介:**彭璐(1976-),女,江苏盐城人,北京橡胶工业研究设计院助理工程师,硕士,主要从事高聚物共混及橡胶制品的研究工作。

### 1.3 试验设备与仪器

XK-160 型高温开炼机, XK-160 型普通开炼机, 哈克流变仪, 30 t 平板硫化机。

### 1.4 试样制备

在高温开炼机和哈克流变仪上制得混炼胶,然后在普通开炼机上按常规 NBR 的混炼工艺进行混炼,混炼温度:前辊 40~45 °C, 后辊 45~50 °C。硫化在平板硫化机上进行, 硫化条件为 180 °C × t<sub>90</sub>。

### 1.5 性能测试

胶料性能按相应的国家标准进行测试。

## 2 结果与讨论

为了改善 NBR/PCMO 共混物的焦烧性能、耐热老化性能及压缩永久变形性能等, 本工作采用低硫高促硫化体系(B<sub>1</sub> 和 B<sub>2</sub>)、复合硫化体系(B<sub>3</sub>)、镉镁体系(B<sub>4</sub>)、过氧化物(DCP)硫化体系和甲基丙烯酸锌[Zn(MMA)<sub>2</sub>]体系<sup>[4~7]</sup>进行对比试验。

### 2.1 含硫硫化体系对 NBR/PCMO 共混物性能的影响

含硫硫化体系分别为 B<sub>1</sub>~B<sub>4</sub>。

B<sub>1</sub> 配方: 硫黄 0.4, 促进剂 DM 1.6, 促进剂 TMTD 1.2, 氧化锌 4, 硬脂酸 0.8。

B<sub>2</sub> 配方: 硫黄 0.4, 促进剂 TMTD 2, 促进剂 CZ 1.2, 氧化锌 4, 硬脂酸 0.8。

B<sub>3</sub> 配方: 硫黄 0.2, 促进剂 DM 0.8, 促进

剂 TMTD 1.2, 硫化剂 DCP 2, 氧化锌 4, 硬脂酸 0.8。

B<sub>4</sub> 配方: 硫黄 0.3, 促进剂 DM 2, 活性氧化镁 5, 氧化镉 4, 二乙基二硫代氨基甲酸镉 (CED) 2。

含硫硫化体系对 NBR/PCMO 共混物性能的影响见表 1。

**表 1 含硫硫化体系对 NBR/PCMO 共混物性能的影响**

| 项 目                          | 含硫硫化体系         |                |                |                     |
|------------------------------|----------------|----------------|----------------|---------------------|
|                              | B <sub>1</sub> | B <sub>2</sub> | B <sub>3</sub> | B <sub>4</sub>      |
| <b>硫化仪数据(180 ℃)</b>          |                |                |                |                     |
| M <sub>L</sub> /(dN · m)     | 14.92          | 14.13          | 15.01          | 21.18 <sup>1)</sup> |
| M <sub>H</sub> /(dN · m)     | 30.95          | 32.00          | 32.69          | 40.45 <sup>1)</sup> |
| t <sub>10</sub> /min         | 0.77           | 0.77           | 0.92           | 0.88 <sup>1)</sup>  |
| t <sub>90</sub> /min         | 2.03           | 2.00           | 3.15           | 5.08 <sup>1)</sup>  |
| 硫化时间(180 ℃)/min              | 6              | 6              | 6              | 10                  |
| 邵尔 A 型硬度/度                   | 79             | 82             | 81             | 81                  |
| 拉伸强度/MPa                     | 13.1           | 12.4           | 13.7           | 13.3                |
| 扯断伸长率/%                      | 401            | 436            | 327            | 233                 |
| 撕裂强度/(kN · m <sup>-1</sup> ) | 57.8           | 55.3           | 53.3           | 52.3                |
| 压缩永久变形(150 ℃, 压缩率 25%)/%     |                |                |                |                     |
| 22 h                         | 67             | 54             | 47             |                     |
| 70 h                         | 81             | 77             | 58             |                     |
| 130 ℃ × 70 h 热空气老化后          |                |                |                |                     |
| 邵尔 A 型硬度变化/度                 | +6             | +3             | +5             |                     |
| 拉伸强度变化率/%                    | -2             | +10            | +6             |                     |
| 扯断伸长率变化率/%                   | -1             | -16            | -16            |                     |
| 150 ℃ × 48 h 热空气老化后          |                |                |                |                     |
| 邵尔 A 型硬度变化/度                 | +7             | +4             | +5             | +2                  |
| 拉伸强度变化率/%                    | +11            | +10            | +12            | -23                 |
| 扯断伸长率变化率/%                   | -13            | -14            | -28            | -77                 |

注: 1) 153 ℃ 下测定的数据。

从表 1 可以看出, 各种硫化体系胶料的起硫均较快; B<sub>3</sub> 胶料的硫化速度[以(t<sub>90</sub> - t<sub>10</sub>)<sup>-1</sup> 表征]相对较慢; B<sub>4</sub> 胶料的转矩较大, 流动性不好。总的说来, 4 种含硫硫化体系对 NBR/PCMO 共混物的硫化特性影响不大。

从表 1 还可以看出, 4 种含硫硫化体系对 NBR/PCMO 共混物的邵尔 A 型硬度、拉伸强度和撕裂强度影响不大, 而对扯断伸长率有所影响。综合来看, B<sub>3</sub> 硫化胶的常规物理性能较好, 压缩永久变形性能最佳。

另外, B<sub>1</sub> 硫化胶的耐热性最好, 其次是 B<sub>2</sub> 硫化胶。B<sub>1</sub> 和 B<sub>2</sub> 硫化胶经 150 ℃ × 48 h 热空气老

化后的扯断伸长率变化率仅为 -13% 和 -14%, 这对于制作密封制品十分有利。通过调整硫化体系, 可使共混物的耐热温度由 NBR 的 100 ℃ 左右提高到 150 ℃ 左右<sup>[8]</sup>, 从而拓宽 NBR 的应用领域, 使其更加适应目前航空、航天、汽车制造等领域对耐油弹性体的需求。

## 2.2 硫化剂 DCP 用量对 NBR/PCMO 共混物性能的影响

过氧化物硫化体系中硫化剂 DCP 用量对 NBR/PCMO 共混物硫化特性的影响见表 2。

**表 2 硫化剂 DCP 用量对 NBR/PCMO 共混物硫化特性(180 ℃)的影响**

| 项 目   | 硫化剂 DCP 用量/份 |       |       |       |       |
|---|--------------|-------|-------|-------|-------|
|   | 1.5          | 2.5   | 3.5   | 4.5   | 6     |
| M <sub>L</sub> /(dN · m)  | 13.30        | 14.74 | 14.36 | 14.39 | 14.36 |
| M <sub>H</sub> /(dN · m)  | 23.23        | 29.51 | 31.58 | 33.02 | 35.22 |
| t <sub>10</sub> /min  | 1.43         | 1.20  | 1.12  | 1.08  | 1.02  |
| t <sub>90</sub> /min  | 4.72         | 4.57  | 4.07  | 3.82  | 3.72  |
| (t <sub>90</sub> - t <sub>10</sub> ) <sup>-1</sup> /min <sup>-1</sup> | 0.304        | 0.297 | 0.339 | 0.365 | 0.370 |

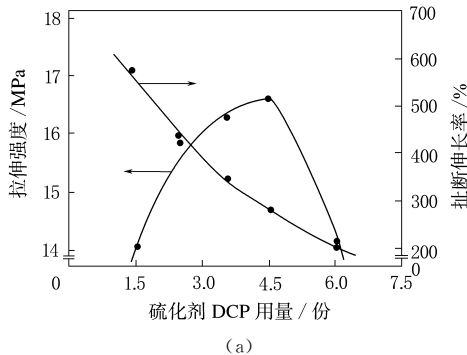
从表 2 可以看出, 随着硫化剂 DCP 用量的增大, NBR/PCMO 共混物的硫化速度加快, M<sub>H</sub> 增大。说明随着硫化剂 DCP 用量的增大, 硫化胶的交联密度增大, 交联程度提高。

硫化剂 DCP 用量对 NBR/PCMO 共混物物理性能的影响如图 1 所示。

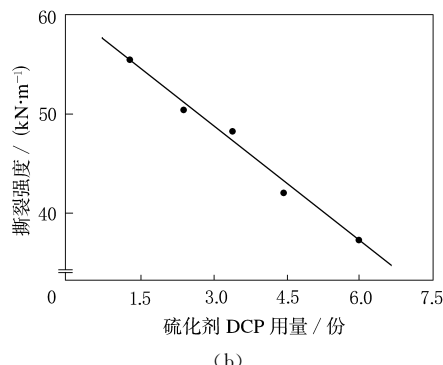
从图 1 可以看出, 随着硫化剂 DCP 用量的增大, NBR/PCMO 共混物的拉伸强度增大; 当硫化剂 DCP 用量为 4.5 份时, 拉伸强度出现一个最大值, 之后随着硫化剂 DCP 用量的继续增大而减小。共混物的撕裂强度和扯断伸长率均随着硫化剂 DCP 用量的增大而减小。

硫化剂 DCP 用量对 NBR/PCMO 共混物压缩永久变形和热空气老化性能的影响见表 3。

从表 3 可以看出, 随着硫化剂 DCP 用量的增大, NBR/PCMO 共混物的压缩永久变形性能提高。这可能是由于硫化剂 DCP 用量增大, 硫化胶的交联密度也增大的缘故。硫化剂 DCP 用量对 NBR/PCMO 共混物的热空气老化性能影响不大。硫化剂 DCP 用量为 3.5 份时, 共混物硫化胶的综合性能最好。



(a)



(b)

图 1 硫化剂 DCP 用量对 NBR/PCMO 共混物物理性能的影响

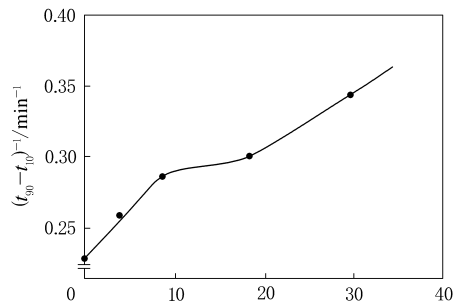
表 3 硫化剂 DCP 用量对 NBR/PCMO 共混物压缩永久变形和热空气老化性能的影响

| 项 目                   | 硫化剂 DCP 用量/份 |     |     |     |     |
|-----------------------|--------------|-----|-----|-----|-----|
|                       | 1.5          | 2.5 | 3.5 | 4.5 | 6   |
| 压缩永久变形(130 °C × 70 h) |              |     |     |     |     |
| 压缩率 25%/%             | 74           | 76  | 62  | 66  | 55  |
| 130 °C × 70 h 热空气老化后  |              |     |     |     |     |
| 拉伸强度变化率/%             | +19          | +8  | +9  | +11 | +13 |
| 扯断伸长率变化率/%            | -41          | -48 | -38 | -36 | -43 |
| 150 °C × 48 h 热空气老化后  |              |     |     |     |     |
| 拉伸强度变化率/%             | +17          | +3  | -1  | -14 | -15 |
| 扯断伸长率变化率/%            | -66          | -63 | -65 | -62 | -78 |

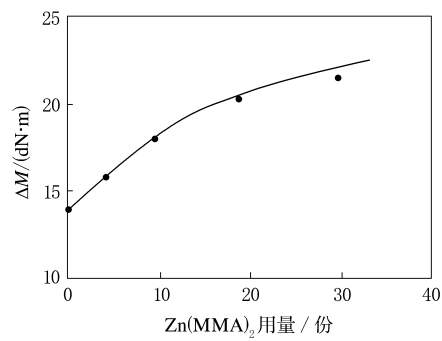
### 2.3 Zn(MMA)<sub>2</sub>/DCP 硫化体系对 NBR/PCMO 共混物性能的影响

Zn(MMA)<sub>2</sub>/DCP 硫化体系是近年来研究较多的一种新型体系, 它可以提高硫化胶的拉伸强度、定伸应力和硬度<sup>[5~11]</sup>。本试验采用 2.5 份硫化剂 DCP, 研究 Zn(MMA)<sub>2</sub> 用量对 NBR/PCMO 共混物性能的影响, 结果见图 2 和表 4。

从图 2 可以看出, 随着 Zn(MMA)<sub>2</sub> 用量的增大, NBR/PCMO 共混物的硫化速度和硫化程度提高。这是由于过氧化物的存在, Zn(MMA)<sub>2</sub>



(a)



(b)

图 2 Zn(MMA)<sub>2</sub> 用量对 NBR/PCMO 共混物硫化特性(180 °C)的影响

表 4 Zn(MMA)<sub>2</sub> 用量对 NBR/PCMO 共混物物理性能的影响

| 项 目                    | Zn(MMA) <sub>2</sub> 用量/份 |       |       |       |       |
|------------------------|---------------------------|-------|-------|-------|-------|
|                        | 0                         | 4     | 10    | 20    | 30    |
| 硫化胶性能(180 °C × 10 min) |                           |       |       |       |       |
| 邵尔 A 型硬度/度             | 82                        | 87    | 89    | 95    | 97    |
| 拉伸强度/MPa               | 13.92                     | 16.15 | 19.01 | 22.68 | 22.70 |
| 扯断伸长率/%                | 486                       | 402   | 374   | 365   | 341   |
| 100% 定伸应力/MPa          | 5.2                       | 8.3   | 9.3   | 9.6   | 10.4  |
| 300% 定伸应力/MPa          | 11.9                      | 14.4  | 14.5  | 14.2  | 14.7  |
| 撕裂强度/(kN·m⁻¹)          | 53.53                     | 53.39 | 44.88 | 42.68 | 42.39 |
| 150 °C × 48 h 热空气老化后   |                           |       |       |       |       |
| 邵尔 A 型硬度变化/度           | +2                        | +4    | +2    | +3    |       |
| 拉伸强度变化率/%              | +11                       | +19   | +22   | +20   |       |
| 扯断伸长率变化率/%             | -34                       | -26   | -13   | -28   |       |

在胶料中产生聚合, 并部分接枝于橡胶分子链上, 从而生成大量的盐基交联键, 使硫化胶的交联程度提高。但同时随着 Zn(MMA)<sub>2</sub> 用量的增大, 胶料的加工工艺性能变差, 粘辊和粘模现象十分严重。

由表 4 可见, 随着 Zn(MMA)<sub>2</sub> 用量的增大, 共混物的邵尔 A 型硬度、拉伸强度、100% 和

300% 定伸应力增大, 撕裂强度减小。加入  $Zn(MMA)_2$  后, 共混物的耐热空气老化性能有所提高。当  $Zn(MMA)_2$  用量为 10 份时, 共混物的耐老化性能最好。综合而言,  $Zn(MMA)_2$  用量为 10 份时, 共混物的综合性能最好。

### 3 结论

(1) 低硫高促硫化体系硫化胶的耐热空气老化性能较好; 复合硫化体系硫化胶的压缩永久变形性能最佳。

(2) 在过氧化物硫化体系中, 随着硫化剂 DCP 用量的增大, 共混物的交联密度和交联程度提高, 压缩永久变形和撕裂强度减小。当硫化剂 DCP 用量为 3.5 份时, 共混物的综合性能最佳。

(3) 在  $Zn(MMA)_2/DCP$  硫化体系中, 随着  $Zn(MMA)_2$  用量的增大, 共混物的硫化速度和硫化程度提高,邵尔 A 型硬度、拉伸强度及 100% 和 300% 定伸应力均增大, 撕裂强度减小。当  $Zn(MMA)_2$  用量为 10 份、硫化剂 DCP 用量为 2.5 份时, 共混物的综合性能最佳。

### 参考文献:

- [1] 彭璐. 丁腈橡胶与氯化聚醚的共混改性[D]. 北京:北京橡胶工业研究设计院, 2002.
- [2] 张俊才. 丁腈橡胶和氯化聚醚的并用[J]. 橡胶工业, 1982, 29(8): 19-21.
- [3] 巫金东. 45713 丁腈橡胶的性能及其应用[J]. 特种橡胶制品, 1988, 9(6): 32-33.
- [4] 王瑞芝. 促进剂 DM 在橡胶胶料中的应用[J]. 特种橡胶制品, 1986, 7(4): 6-13.
- [5] 刘毓真, 郭勇, 李振明, 等. 丁腈橡胶高温下压缩永久变形的研究[J]. 橡胶工业, 1996, 43(2): 67-71.
- [6] 韩廷解, 潘家骥, 曹永光, 等. 提高 NBR 耐热性能的研究[J]. 橡胶工业, 2001, 48(12): 716-718.
- [7] 杜爱华. 橡胶配合加工技术讲座 第 8 讲 丁腈橡胶[J]. 橡胶工业, 1999, 46(1): 60-63.
- [8] 张殿荣, 马占兴, 杨清芝. 现代橡胶配方设计[M]. 北京: 化学工业出版社, 1994.
- [9] 袁新恒, 张隐西, 张勇, 等. 甲基丙烯酸镁对 NBR 的补强作用[J]. 橡胶工业, 1999, 46(5): 281-283.
- [10] 关玉坤, 陈晓东. 金属活性助剂 MCA 对丁腈橡胶性能的影响[J]. 特种橡胶制品, 1995, 16(3): 5-7.
- [11] 关玉坤, 陈晓东. 金属活性助剂 MZN 对丁腈橡胶性能的影响[J]. 特种橡胶制品, 1997, 18(1): 20-22.

收稿日期: 2003-07-23

## Effect of curing system on properties of NBR/PCMO blend

PENG Lu<sup>1</sup>, CHEN Yun-xi<sup>1</sup>, WANG Ke-shan<sup>2</sup>, SUN Dong-mei<sup>2</sup>

(1. Beijing Research and Design Institute of Rubber Industry, Beijing 100039, China; 2. Heilongjiang Jixi Hengli Engineering Plastics Factory, Jixi 158149, China)

**Abstract:** The effect of different curing systems on the properties of NBR/PCMO blend was investigated. The results showed that the low sulfur-high accelerator curing systems resulted in the NBR/PCMO vulcanizates with better hot air aging properties and the complex curing systems gave the vulcanizates the optimum compression set; and the vulcanizate with the best comprehensive properties was obtained when 3.5 phr DCP in peroxide curing system or 10 phr  $Zn(MMA)_2$  and 2.5 phr DCP in  $Zn(MMA)_2/DCP$  complex curing system were used.

**Keywords:** NBR; PCMO; curing system; compression set; hot air aging

### 双星推行条码技术管理见成效

中图分类号:F27 文献标识码:D

自 2003 年 5 月, 双星集团开始在十几个生产厂推行条码技术管理, 改变了传统的仓库管理模式, 为现代化物流和立体仓储管理创造了条件。

以前双星各工厂产品出入库全是人工点数,

手工书写单据, 易造成库存数据不准。条形码扫描替代手工记账后, 在速度提高的同时, 大大减小了错误率。条码技术管理使双星产品进入大型超市和商场有了通行证, 为代理物流平台的建设和微机化管理以及产品质量跟踪提供了方便。

(双星集团宣传处 张艾丽供稿)